

• 化学成分 •

人参中 1 个新的齐墩果酸型皂苷

左甜甜, 李威威, 李 雪, 王洪达, 杨文志*

天津中医药大学 天津市中药化学与分析重点实验室, 天津 301617

摘要: 目的 研究人参 *Panax ginseng* 根中的皂苷类成分。方法 采用 70%乙醇水温和冷浸提取, 醋酸乙酯与正丁醇萃取, D101 大孔吸附树脂和反相硅胶柱色谱以及半制备 HPLC 等手段分离纯化, 根据高分辨质谱、一维与二维 NMR 数据等鉴定化合物结构。结果 从人参根醇提物中分离鉴定 1 个新的齐墩果酸型四糖皂苷 (1) 与 19 个已知人参皂苷化合物 (2~20)。化合物 1 鉴定为齐墩果酸-3-*O*-[β -*D*-吡喃葡萄糖基-(1 \rightarrow 2)- β -*D*-吡喃葡萄糖醛酸基]-28-*O*- β -*D*-吡喃葡萄糖基-(1 \rightarrow 6)- β -*D*-吡喃葡萄糖基, 命名为人参皂苷 Ro₁ (1), 19 个已知人参皂苷分别鉴定为三七皂苷 FP₁ (2)、人参皂苷 Re₃ (3)、三七皂苷 Rt (4)、20-*O*-葡萄糖基人参皂苷 Rf (5)、人参皂苷 Re₂ (6)、人参皂苷 Rg₂ (7)、人参皂苷 Ra₂ (8)、人参皂苷 Rb₁ (9)、人参皂苷 Rc (10)、人参皂苷 Ra₁ (11)、丙二酰人参皂苷 Rb₁ (12)、丙二酰人参皂苷 Rd₅ (13)、丙二酰人参皂苷 Rc (14)、人参皂苷 Ro (15)、人参皂苷 Rd (16)、人参皂苷 F₂ (17)、20(*R*)-人参皂苷 Rh₂ (18)、人参皂苷 F₃ (19)、人参皂苷 F₁ (20)。结论 化合物 1 为 1 个新化合物, 化合物 2 为首次从该植物中分离得到。

关键词: 人参; 人参皂苷; 人参皂苷 Ro₁; 齐墩果酸型皂苷; 三七皂苷 FP₁

中图分类号: R284.1 **文献标志码:** A **文章编号:** 0253-2670(2020)14-3623-10

DOI: 10.7501/j.issn.0253-2670.2020.14.003

A new oleanolic acid-type saponin from roots of *Panax ginseng*

ZUO Tian-tian, LI Wei-wei, LI Xue, WANG Hong-da, YANG Wen-zhi

Tianjin Key Laboratory of TCM Chemistry and Analysis, Tianjin University of Traditional Chinese Medicine, Tianjin 301617, China

Abstract: Objective To systematically investigate the chemical constituents of the roots of *Panax ginseng*. **Methods** Mild cold-soaked extraction by 70% aqueous ethanol, successive solvent extraction by ethyl acetate and *n*-butanol, column chromatography by D101 macroporous absorption resin and reversed-phase silica gel, and semi-preparative HPLC, were used for compounds isolation and purification, while high-resolution mass spectrometry, 1D and 2D NMR data were analyzed for compounds identification. **Results** A new oleanolic acid tetraglycoside (1) and 19 known ginsenosides (2—20) were isolated and identified. Compound 1 was identified as oleanolic acid 3-*O*-[β -*D*-glucopyranosyl-(1 \rightarrow 2)- β -*D*-glucuronopyranosyl]-28-*O*- β -*D*-glucopyranosyl-(1 \rightarrow 6)- β -*D*-glucopyranoside, named ginsenoside Ro₁ (1). The 19 known ginsenosides were notoginsenoside FP₁ (2), ginsenoside Re₃ (3), notoginsenoside Rt (4), 20-*O*-glucosyl ginsenoside Rf (5), ginsenoside Re₂ (6), ginsenoside Rg₂ (7), ginsenoside Ra₂ (8), ginsenoside Rb₁ (9), ginsenoside Rc (10), ginsenoside Ra₁ (11), malonylginsenoside Rb₁ (12), malonylfloralginsenoside Rd₅ (13), malonylginsenoside Rc (14), ginsenoside Ro (15), ginsenoside Rd (16), ginsenoside F₂ (17), 20(*R*)-ginsenoside Rh₂ (18), ginsenoside F₃ (19) and ginsenoside F₁ (20). **Conclusion** Compound 1 is a new compound. Compound 2, notoginsenoside FP₁, is isolated from this plant for the first time.

Key words: *Panax ginseng* C. A. Meyer; ginsenoside; ginsenoside Ro₁; oleanolic acid-type saponin; notoginsenoside FP₁

人参为五加科 (Araliaceae) 人参属植物 *Panax ginseng* C. A. Meyer 的根, 是一种名贵中药材, 具有大补元气、复脉固脱、补脾益肺、生津养血、安

神益智的功效。鲜人参在秋季开始采挖, 清洗干净, 经干燥后得到生晒参, 又名白参^[1]。人参中含有多种植物代谢物, 其中, 人参皂苷是对人体具有补益

收稿日期: 2020-01-06

基金项目: 国家自然科学基金面上项目 (81872996)

作者简介: 左甜甜, 硕士在读, 研究方向为中药与天然药物中新颖活性分子发现。E-mail: 13553170361@163.com

*通信作者 杨文志, 副研究员, 博士生导师, 研究方向为标准导向的中药整体性质量控制方法。E-mail: wzyang0504@tjutcm.edu.cn

作用的主要活性成分。目前, 从人参属植物中分离得到的人参皂苷主要包括原人参二醇 (PPD) 型、原人参三醇 (PPT) 型、齐墩果酸 (OA) 型与 octillol (OT) 型 4 种亚型, 另外还有大量结构新颖的 C-17 侧链变异型以及酰化代谢物如丙二酸酰化人参皂苷等^[2]。人参皂苷已被证明与多种膜蛋白如离子通道、转运体和受体相互作用, 从而对机体生理活动产生影响^[3]; 人参皂苷具有抗肿瘤活性等^[4]。为深入研究人参根的化学组成, 对产自长白山的人参根进行了系统的植化分离研究, 分离鉴定了 20 个人参皂苷, 分别为齐墩果酸-3-*O*-[β -D-吡喃葡萄糖基-(1 \rightarrow 2)- β -D-吡喃葡萄糖醛酸基]-28-*O*- β -D-吡喃葡萄糖基-(1 \rightarrow 6)- β -D-吡喃葡萄糖苷 (oleanolic acid 3-*O*-[β -D-glucopyranosyl-(1 \rightarrow 2)- β -D-glucuronopyranosyl]-28-*O*- β -D-glucopyranosyl-(1 \rightarrow 6)- β -D-glucopyranoside, **1**)、三七皂苷 FP₁ (notoginsenoside FP₁, **2**)、人参皂苷 Re₃ (ginsenoside Re₃, **3**)、三七皂苷 Rt (notoginsenoside Rt, **4**)、20-*O*-葡萄糖基人参皂苷 Rf (20-*O*-glucosyl ginsenoside Rf, **5**)、人参皂苷 Re₂ (ginsenoside Re₂, **6**)、人参皂苷 Rg₂ (ginsenoside Rg₂, **7**)、人参皂苷 Ra₂ (ginsenoside Ra₂, **8**)、人参皂苷 Rb₁ (ginsenoside Rb₁, **9**)、人参皂苷 Rc (ginsenoside Rc, **10**)、人参皂苷 Ra₁ (ginsenoside Ra₁, **11**)、丙二酰人参皂苷 Rb₁ (malonylginsenoside Rb₁, **12**)、丙二酰人参茎叶皂苷 Rd₅ (malonylfloralginsenoside Rd₅, **13**)、丙二酰人参皂苷 Rc (malonylginsenoside Rc, **14**)、人参皂苷 Ro (ginsenoside Ro, **15**)、人参皂苷 Rd (ginsenoside Rd, **16**)、人参皂苷 F₂ (ginsenoside F₂, **17**)、20(*R*)-人参皂苷 Rh₂ [20(*R*)-ginsenoside Rh₂, **18**]、人参皂苷 F₃ (ginsenoside F₃, **19**)、人参皂苷 F₁ (ginsenoside F₁, **20**)。其中化合物 **1** 为新化合物, 命名为人参皂苷 Ro₁; 化合物 **2** 为首次从该植物中分离得到。

1 仪器与材料

BRUKER AVANCE III-600 和 AVANCE III-500 型核磁共振波谱仪 (瑞士布鲁克公司); 离子淌度四级杆飞行时间质谱 (美国沃特世科技有限公司); 中压制备液相色谱仪 (苏州汇通色谱分离纯化有限公司); Agilent 1260 Infinity II 液相色谱仪 (美国安捷伦科技有限公司); LC-20AP 高压制备液相色谱仪 (日本岛津); Kromasil100-5 C₁₈ 色谱柱 (250 \times 50 mm, 5 μ m); 分析纯试剂无水乙醇、石油醚、三氯甲烷、甲醇、醋酸乙酯、正丁醇、乙腈、丙酮, 以

及葡聚糖凝胶 LH-20, 均购于上海国药集团化学试剂有限公司; 柱色谱用硅胶 (200~300 目)、硅胶 254 薄层色谱板购于青岛胜海精细硅胶化工有限公司; 反相 C₁₈ 硅胶购于日本大曹 (Daiso) 株式会社; 人参根药材于 2017 年 9 月购于白山林村中药开发有限公司 (中国吉林), 根据《中国植物志》和指纹图谱分析进行鉴定, 最后经天津中医药大学中医药研究院吴红华副研究员鉴定为人参 *Panax ginseng* C. A. Meyer 的干燥根。标本 (No. PGR-20171001) 存放于天津中医药大学中医药研究院实验室。

2 提取与分离

50 kg 人参药材, 切断打碎成粗粉, 用 10 倍量 70% 乙醇水溶液浸泡提取 2 次, 每次 3 d, 每隔 5 h 搅拌 1 次, 滤过, 合并滤液, 于 60 $^{\circ}$ C 减压浓缩, 得提取液 15 L。将提取液依次用醋酸乙酯与正丁醇萃取 3 次, 分别合并醋酸乙酯层与正丁醇层, 得醋酸乙酯萃取部分 (Fr. 1, 0.3 kg)、正丁醇萃取部分 (Fr. 2, 2.1 kg) 和水层 (Fr. 3, 2.4 kg)。

将 Fr. 3 (2.4 kg) 采用 D101 树脂柱色谱分段, 分别用水、50% 和 95% 乙醇水洗脱, 收集 50% 与 95% 乙醇水洗脱部分, 浓缩并冻干, 分别记为 Fr. 3-1 (735 g) 和 Fr. 3-2 (896 g)。Fr. 3-1 和 Fr. 3-2 分别过中压 C₁₈ 柱色谱再次分段, 依次用 20%、30%、40%、50% 乙腈水洗脱, 各得到 4 个洗脱流分 (Fr. 3-1-a~3-1-d 和 Fr. 3-2-a~3-2-d)。Fr. 3-1-a~3-1-d 以及 Fr. 3-2-a~3-2-d, 均分别反复采用高压反相 C₁₈ 制备柱色谱和 Sephadex LH-20 柱色谱, 以乙腈水洗脱进行分离和纯化, 得到 16 个化合物。从 Fr. 3-1-a 得到化合物 **4** (15 mg) 和 **8** (20 mg); 从 Fr. 3-1-b 得到化合物 **1** (30 mg)、**11** (20 mg) 和 **5** (50 mg); 从 Fr. 3-1-c 得到化合物 **9** (20 mg)、**10** (20 mg) 和 **16** (20 mg); 从 Fr. 3-1-d 得到化合物 **6** (20 mg)、**2** (8 mg)、**3** (10 mg); 从 Fr. 3-2-a 得到化合物 **12** (20 mg)、**16** (15 mg) 和 **13** (30 mg); 从 Fr. 3-2-b 得到化合物 **14** (30 mg); 从 Fr. 3-2-c 得到化合物 **18** (20 mg); 从 Fr. 3-2-d 得到化合物 **19** (20 mg)。

将 Fr. 2 (2.1 kg) 采用 D101 树脂柱色谱分段, 分别用水、50% 和 95% 乙醇水洗脱, 收集 50% 与 95% 乙醇水洗脱部分, 浓缩并冻干, 分别记为 Fr. 2-1 (513 g) 和 Fr. 2-2 (769 g)。Fr. 2-1 和 Fr. 2-2 分别过中压 C₁₈ 柱色谱, 依次用 20%、30%、40%、50% 乙腈水洗脱, 每个梯度洗脱 25 L, 各得到 4 个流分 (Fr. 2-1-a~2-1-d 以及 Fr. 2-2-a~2-2-d)。Fr. 2-1-a~2-1-d 以及

Fr. 2-2-a~2-2-d, 均分别反复采用反相 C₁₈ 制备柱、YMC-Hydrosphere 色谱柱以及 Sephadex LH-20 柱, 用乙腈水洗脱进行分离和纯化, 得到如下 4 个化合物。从 Fr. 2-1-a 得到化合物 **7** (20 mg); 从 Fr. 2-1-c 得到化合物 **20** (20 mg); 从 Fr. 2-1-d 得到化合物 **17** (39 mg) 和 **15** (58 mg)。

3 结构鉴定

化合物 **1**: 白色粉末, $[\alpha]_D^{25} -1.98^\circ$ (c 0.11, MeOH); UV $\lambda_{\max}^{\text{MeOH}}$ (log ϵ): 203.4 (5.6) nm; IR ν_{\max}^{KBr} (cm⁻¹): 3 403, 2 936, 2 361, 1 735, 1 376, 1 081; HR-ESI-MS 负离子模式分子离子峰 m/z 1 117.544 9 [M-H]⁻, 推测其分子式为 C₅₄H₈₆O₂₄ (计算值为 1 117.543 6); 其母离子裂解生成碎片 m/z 793、613、455, 提示其结构可能是含有 3 个葡萄糖基与 1 个葡萄糖醛酸基的齐墩果酸型人参皂苷。其核磁数据与文献报道的人参皂苷 Ro 基本一致^[5], 但是该化合物多出 1 组糖基信号, 其 ¹H-NMR (600 MHz, py-*d*₅) 谱显示与人参皂苷 Ro 一致的齐墩果酸型人参皂苷母核特征信号, 包括 1 个烯氢信号 δ_{H} 5.51 (brs, H-12), 7 个单峰甲基信号 δ_{H} 1.28, 1.09, 0.85, 1.10, 1.76, 0.88, 0.89。另外还有 4 个糖端基质子信号 δ_{H} 6.27 (d, $J = 8.4$ Hz, H-1'''), 5.43 (d, $J = 7.2$ Hz, H-1''), 5.01 (d, $J = 7.8$ Hz, H-1'), 5.03 (d, $J = 7.2$ Hz, H-1'''); ¹³C-NMR (150 MHz, py-*d*₅) 谱显示 1 个羰基信号 δ_{C} 176.5 (C-28), 1 组双键碳信号 δ_{C} 122.9 (C-12), 144.2 (C-13) 及 4 个糖端基碳信号 δ_{C} 105.3 (C-1'), 106.0 (C-1''), 95.6 (C-1'''), 105.3 (C-1'''), 其中 C-1''' 因受 28-羰基屏蔽影响处在较高场; C₃-内侧葡萄糖醛酸基数据 δ_{C} 105.3 (C-1'), 82.9 (C-2'), 77.8 (C-3'), 73.3 (C-4'), 77.2 (C-5') 为典型的 2'-取代, HMBC 谱中观察到 δ_{H} 5.43 到 δ_{C} 82.9, δ_{H} 5.01 到 δ_{C} 89.2 的远程相关, COSY 谱中观察到 δ_{H} 5.01 和 δ_{H} 4.37 的相关, HSQC 谱中观察到 δ_{H} 4.37 与 δ_{C} 82.9 相关 (图 1), 可以证实母核 3 位苷化、2'-取代。与人参皂苷 Ro 相比, 化合物 **1** 的 ¹³C-NMR 数据中多出 1 个 δ_{C} 69.4 信号, 是糖基的 6 位碳因苷化向低场位移; 在 HSQC 谱中观察到 δ_{C} 69.4 与 δ_{H} 4.73 相关, δ_{C} 95.6 与 δ_{H} 6.27 相关; HSQC-TOCSY 谱中 δ_{H} 6.27 与 δ_{C} 73.9、78.7、71.0 相关; 在 HMBC 谱中, δ_{H} 4.73 与 δ_{C} 71.0 相关; 由此可推断葡萄糖基的 6''' 位发生糖基取代。ROESY 谱中显示 H-3 与 H-5、H-5 与 H-9、H-9 与 27-CH₃ (α -构型) 有相关, 25-CH₃ 与 26-CH₃ 有相关, 表明 3-OH 为 β 构型。综合质谱、一维和二维

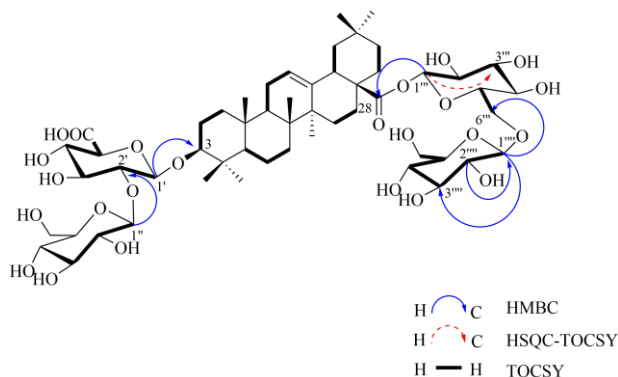


图 1 化合物 **1** 的主要 HMBC、HSQC-TOCSY 和 TOCSY 相关图

Fig. 1 Key HMBC, HSQC-TOCSY, and TOCSY correlations for compound **1**

NMR 数据, 鉴定化合物 **1** 为齐墩果酸-3-*O*-[β -*D*-吡喃葡萄糖基-(1 \rightarrow 2)- β -*D*-吡喃葡萄糖醛酸基]-28-*O*- β -*D*-吡喃葡萄糖基-(1 \rightarrow 6)- β -*D*-吡喃葡萄糖基], 命名为人参皂苷 Ro₁。化合物 **1** 的 ¹H-NMR 与 ¹³C-NMR 归属见表 1。

化合物 **2**: 白色粉末; ESI-MS 负离子模式分子离子峰 m/z 931 [M-H]⁻, 推测其分子式为 C₄₇H₈₀O₁₈, 其母离子裂解生成离子 m/z 799、637、475, 根据碎片推断化合物 **2** 结构可能为原人参三醇母核连接 2 个葡萄糖基和 1 个五碳糖基。¹H-NMR (600 MHz, py-*d*₅) 谱和 ¹³C-NMR (150 MHz, py-*d*₅) 谱在 δ_{H} 5.04 (1H, d, $J = 8.4$ Hz, H-1'), 5.12 (1H, d, $J = 7.8$ Hz, H-1''), δ_{C} 106.0、98.2 显示有 2 个 β -型葡萄糖基。 δ_{H} 4.98 (1H, d, $J = 6.03$ Hz, H'''), δ_{C} 104.8、72.3、74.2、68.7、65.7 为吡喃型阿拉伯糖基信号。此外还有与原人参三醇相一致的 1 个烯氢信号 δ_{H} 5.34 (1H, t, $J = 6.6$ Hz, H-24), 8 个单峰甲基信号 δ_{H} 0.78, 1.04, 1.17, 1.62, 1.63 (6H), 1.67, 2.08。¹³C-NMR 谱低场区显示双键 δ_{C} 126.1 (C-24), 131.5 (C-25), 其他 ¹³C-NMR 数据见表 2。以上波谱数据与文献报道的一致^[6], 故鉴定化合物 **2** 为三七皂苷 FP₁。

化合物 **3**: 白色粉末; ESI-MS 负离子模式下分子离子峰为 m/z 961 [M-H]⁻, 推测分子式为 C₄₈H₈₂O₁₉, 其裂解得到次级碎片 m/z 799、637、475、391, 推测其结构为连有 3 个葡萄糖基的 PPT 型皂苷。¹H-NMR (600 MHz, py-*d*₅) 谱中显示 2 个 β -型糖端基质子 δ_{H} 5.04 (d, $J = 7.8$ Hz, H-1'), 5.08 (d, $J = 7.8$ Hz, H-1''), 1 个 α 型糖端基质子 5.88 (d, $J = 3.6$

表 1 化合物 1 的 $^1\text{H-NMR}$ 与 $^{13}\text{C-NMR}$ 数据
Table 1 $^1\text{H-NMR}$ and $^{13}\text{C-NMR}$ data of compound 1

| 碳位 | δ_{H} | δ_{C} | 碳位 | δ_{H} | δ_{C} |
|----|-----------------------------------|---------------------|-------|----------------------------|---------------------|
| 1 | 1.37 (2H, m) | 38.7 | 28 | — | 176.5 |
| 2 | 1.25 (2H, m) | 26.1 | 29 | 0.88 (3H, s) | 23.7 |
| 3 | 3.27 (1H, dd, $J = 11.4, 4.2$ Hz) | 89.2 | 30 | 0.89 (3H, s) | 33.1 |
| 4 | — | 39.5 | 1' | 5.01 (1H, d, $J = 7.8$ Hz) | 105.3 |
| 5 | 0.71 (1H, brd, $J = 11.4$ Hz) | 55.8 | 2' | 4.37 (1H, overlapped) | 82.9 |
| 6 | 1.29 (1H, m), 1.45 (1H, m) | 18.5 | 3' | 4.41 (1H, overlapped) | 77.8 |
| 7 | 0.88 (2H, m) | 33.1 | 4' | 4.58 (1H, m) | 73.3 |
| 8 | — | 39.9 | 5' | 4.63 (1H, m) | 77.2 |
| 9 | 1.59 (1H, m) | 48.0 | 6' | — | 172.8 |
| 10 | — | 36.9 | 1'' | 5.43 (1H, d, $J = 7.2$ Hz) | 106.0 |
| 11 | 1.88 (2H, m) | 23.4 | 2'' | 4.14 (1H, m) | 77.7 |
| 12 | 5.40 (1H, brs) | 122.9 | 3'' | 4.28 (1H, t, $J = 9.0$ Hz) | 78.0 |
| 13 | — | 144.2 | 4'' | 4.37 (1H, overlapped) | 71.7 |
| 14 | — | 42.1 | 5'' | 3.95 (1H, m) | 78.4 |
| 15 | 2.32 (1H, m), 1.28 (1H, m) | 28.3 | 6'' | 4.50 (2H, overlapped) | 62.7 |
| 16 | 1.97 (2H, m) | 23.8 | 1''' | 6.27 (1H, d, $J = 8.4$ Hz) | 95.6 |
| 17 | — | 47.1 | 2''' | 4.15 (1H, m) | 73.9 |
| 18 | 3.19 (1H, dd, $J = 13.2, 4.2$ Hz) | 41.7 | 3''' | 4.23 (1H, m) | 78.7 |
| 19 | 1.75 (1H, m), 1.24 (1H, m) | 46.2 | 4''' | 4.37 (1H, overlapped) | 71.0 |
| 20 | — | 30.8 | 5''' | 4.38 (1H, overlapped) | 78.0 |
| 21 | 1.14 (2H, m) | 34.0 | 6''' | 4.73 (1H, d, $J = 9.6$ Hz) | 69.4 |
| 22 | 1.90 (2H, m) | 32.6 | 1'''' | 5.05 (1H, d, $J = 7.2$ Hz) | 105.3 |
| 23 | 1.28 (3H, s) | 28.2 | 2'''' | 4.02 (1H, t, $J = 8.4$ Hz) | 75.2 |
| 24 | 1.09 (3H, s) | 16.7 | 3'''' | 4.22 (1H, m) | 78.4 |
| 25 | 0.85 (3H, s) | 15.6 | 4'''' | 4.24 (1H, overlapped) | 71.5 |
| 26 | 1.10 (3H, s) | 17.5 | 5'''' | 3.91 (1H, m) | 78.5 |
| 27 | 1.76 (3H, s) | 26.7 | 6'''' | 4.38 (2H, overlapped) | 62.6 |

Hz, H-1'''), 另外还观察到原人参三醇苷元的 24-烯氢信号 δ_{H} 5.23 (t, $J = 6.9$ Hz, H-24), 8 个甲基信号 δ_{H} 0.81, 1.05, 1.17, 1.57, 1.59, 1.60, 1.63, 2.08。 $^{13}\text{C-NMR}$ (150 MHz, py-d_5) 谱显示皂苷元的双键信号 δ_{C} 126.3 (C-24), 131.3 (C-25), 3 个糖端基信号 δ_{C} 106.4 (C-1'), 103.3 (C-1''), 98.3 (C-1'''), 其他 $^{13}\text{C-NMR}$ 数据见表 2。以上波谱数据与文献报道一致^[7], 故鉴定化合物 3 为人参皂苷 Re_3 。

化合物 4: 白色粉末; ESI-MS 负离子模式加合离子峰 m/z 887 $[\text{M} + \text{HCOO}]^-$, 推测分子式为 $\text{C}_{44}\text{H}_{74}\text{O}_{15}$, 母离子裂解产生的二级碎片包括 m/z 841、781、637、475。根据碎片推测化合物含有 2

个葡萄糖基和 1 个乙酰基。 $^1\text{H-NMR}$ (500 MHz, py-d_5) 谱中显示 2 个 β -型糖端基质子 δ_{H} 5.21 (1H, d, $J = 7.5$ Hz, H-1''), 5.01 (1H, d, $J = 7.5$ Hz, H-1'), δ_{C} 168.1 (COCH₃), δ_{H} 2.08 (3H, COCH₃) 显示含有 1 个乙酰基, 母核中包括 3 个连氧氢 δ_{H} 3.50 (t, $J = 4.0$ Hz, 11.5 Hz, H-3 α), 3.95 (m, H-12), 4.74 (dd, $J = 6.5, 12.0$ Hz), 1 个烯氢 δ_{H} 5.26 (m, H-24), 8 个特征单峰甲基 δ_{H} 0.98, 1.06, 1.27, 1.57, 1.59 (9H), 1.61, 1.64, 2.08; $^{13}\text{C-NMR}$ (125 MHz) 谱显示低场区 1 双键信号 δ_{C} 126.4 (C-24), 131.2 (C-25), 3 个糖端基碳信号 δ_{C} 106.5 (C-1''), 105.5 (C-1'), 98.7 (C-1'''), 66.0 (C-6'), 其他 $^{13}\text{C-NMR}$ 数据见表 2。以上波谱数据与文献报道

表 2 化合物 2~20 的 ¹³C-NMR 数据
Table 2 ¹³C-NMR data of compounds 2—20

| 碳位 | 2 | 3 | 4 | 5 | 6 | 7 | 8 | 9 | 10 | 11 | 12 | 13 | 14 | 15 | 16 | 17 | 18 | 19 | 20 |
|-----|--------|--------|--------|--------|--------|--------|--------|--------|--------|--------|--------|--------|--------|--------|--------|--------|-------|------------|--------|
| 1 | 40.1 | 39.5 | 40.2 | 40.0 | 39.5 | 40.0 | 39.1 | 39.7 | 39.7 | 39.8 | 39.7 | 39.6 | 39.6 | 39.8 | 39.6 | 39.6 | 39.5 | 39.8 | 39.9 |
| 2 | 28.3 | 28.0 | 27.0 | 28.3 | 27.9 | 28.2 | 26.7 | 27.2 | 27.3 | 27.2 | 27.1 | 27.2 | 27.0 | 26.5 | 27.1 | 27.0 | 27.2 | 28.5 | 28.6 |
| 3 | 79.0 | 78.7 | 80.3 | 79.0 | 78.7 | 78.7 | 89.1 | 89.5 | 89.5 | 89.5 | 89.8 | 89.6 | 89.7 | 89.6 | 89.3 | 89.2 | 89.2 | 78.9 | 78.7 |
| 4 | 40.8 | 40.4 | 39.9 | 40.8 | 40.3 | 40.4 | 39.7 | 40.6 | 40.2 | 40.2 | 40.5 | 40.1 | 40.2 | 39.8 | 40.1 | 40.1 | 40.5 | 40.8 | 40.8 |
| 5 | 61.8 | 61.4 | 61.9 | 61.9 | 61.4 | 61.2 | 56.4 | 56.9 | 56.9 | 56.9 | 56.9 | 56.8 | 56.9 | 56.2 | 56.8 | 56.7 | 56.8 | 62.1 | 62.2 |
| 6 | 80.5 | 80.2 | 78.7 | 80.5 | 80.4 | 74.7 | 18.8 | 19.0 | 19.0 | 19.0 | 18.9 | 18.8 | 18.9 | 18.9 | 18.9 | 18.8 | 18.9 | 68.1 | 68.1 |
| 7 | 45.5 | 45.2 | 45.9 | 45.5 | 45.1 | 46.5 | 35.1 | 35.7 | 35.7 | 35.7 | 35.6 | 46.4 | 35.5 | 33.5 | 35.5 | 35.5 | 35.6 | 47.9 | 47.9 |
| 8 | 41.5 | 41.2 | 40.7 | 41.7 | 41.2 | 41.5 | 40.0 | 40.2 | 40.6 | 40.6 | 40.2 | 40.4 | 40.4 | 40.2 | 40.4 | 40.4 | 37.4 | 41.6 | 41.6 |
| 9 | 50.4 | 50.1 | 52.1 | 50.5 | 50.0 | 50.1 | 50.2 | 50.8 | 50.7 | 50.8 | 50.7 | 50.6 | 50.6 | 48.3 | 50.7 | 50.6 | 50.8 | 50.3 | 50.3 |
| 10 | 39.8 | 39.7 | 40.7 | 40.2 | 39.7 | 39.8 | 36.9 | 37.4 | 37.4 | 37.5 | 37.4 | 37.3 | 37.3 | 37.2 | 37.3 | 37.3 | 40.1 | 39.8 | 39.8 |
| 11 | 31.2 | 31.0 | 31.4 | 31.5 | 31.0 | 32.5 | 30.8 | 31.3 | 31.4 | 31.3 | 31.1 | 31.3 | 31.1 | 23.5 | 31.3 | 31.1 | 32.6 | 31.1 | 31.2 |
| 12 | 70.6 | 70.2 | 70.7 | 70.7 | 70.3 | 71.4 | 30.7 | 70.7 | 70.8 | 70.6 | 70.7 | 70.5 | 70.7 | 123.4 | 70.6 | 70.5 | 71.3 | 70.6 | 70.5 |
| 13 | 49.6 | 49.2 | 51.9 | 49.7 | 49.2 | 48.6 | 49.4 | 50.0 | 50.0 | 50.1 | 50.0 | 49.8 | 49.9 | 144.5 | 49.8 | 49.9 | 49.6 | 49.5 | 49.6 |
| 14 | 51.7 | 51.4 | 49.7 | 52.0 | 51.4 | 52.1 | 51.4 | 52.1 | 52.0 | 51.9 | 52.1 | 51.9 | 51.8 | 42.3 | 51.8 | 51.8 | 52.2 | 51.7 | 51.7 |
| 15 | 31.0 | 30.7 | 31.3 | 31.2 | 30.7 | 31.7 | 30.8 | 31.3 | 31.2 | 31.4 | 31.3 | 31.1 | 31.2 | 28.6 | 31.2 | 31.3 | 31.8 | 31.2 | 30.4 |
| 16 | 27.0 | 26.6 | 28.3 | 27.2 | 26.7 | 27.2 | 26.6 | 27.2 | 27.2 | 27.2 | 27.1 | 27.0 | 27.0 | 24.0 | 27.1 | 27.2 | 27.0 | 27.0 | 27.0 |
| 17 | 52.0 | 51.5 | 52.1 | 51.9 | 51.6 | 55.1 | 51.5 | 51.9 | 52.2 | 52.0 | 51.8 | 51.8 | 52.1 | 47.4 | 52.0 | 52.0 | 51.1 | 52.0 | 51.9 |
| 18 | 17.9 | 17.6 | 17.0 | 18.1 | 17.6 | 17.5 | 16.3 | 16.6 | 16.8 | 16.8 | 16.5 | 16.7 | 16.7 | 42.1 | 16.4 | 16.7 | 17.2 | 18.3 | 17.8 |
| 19 | 18.0 | 17.6 | 17.8 | 18.3 | 17.6 | 18.0 | 16.0 | 16.9 | 16.5 | 16.6 | 16.8 | 16.9 | 16.4 | 46.6 | 16.0 | 16.4 | 16.8 | 17.9 | 17.9 |
| 20 | 83.9 | 83.5 | 83.8 | 83.8 | 83.4 | 73.3 | 83.5 | 84.0 | 83.9 | 84.0 | 83.9 | 83.7 | 83.8 | 33.5 | 83.7 | 83.7 | 73.4 | 83.8 | 83.6 |
| 21 | 22.6 | 22.2 | 21.4 | 22.8 | 22.4 | 27.4 | 22.4 | 22.9 | 22.9 | 22.8 | 22.9 | 22.7 | 22.8 | 34.3 | 22.8 | 22.7 | 23.2 | 22.7 | 22.7 |
| 22 | 36.5 | 36.1 | 36.6 | 36.7 | 36.2 | 36.2 | 36.1 | 36.8 | 36.7 | 36.8 | 36.6 | 36.5 | 36.6 | 32.7 | 36.5 | 36.5 | 43.7 | 36.6 | 36.6 |
| 23 | 23.6 | 23.2 | 22.9 | 23.7 | 23.3 | 23.4 | 23.1 | 23.7 | 23.7 | 23.7 | 23.7 | 23.6 | 23.6 | 28.6 | 23.8 | 23.6 | 23.03 | 23.6 | 23.6 |
| 24 | 126.3 | 125.9 | 126.4 | 126.5 | 126.0 | 126.7 | 125.9 | 126.5 | 126.6 | 126.5 | 126.4 | 126.3 | 126.4 | 17.1 | 126.2 | 126.3 | 126.5 | 126.3 | 126.4 |
| 25 | 131.5 | 131.0 | 131.4 | 131.4 | 131.0 | 131.2 | 130.8 | 131.6 | 131.6 | 131.7 | 131.5 | 131.3 | 131.4 | 15.9 | 131.2 | 131.3 | 131.2 | 131.5 | 131.3 |
| 26 | 26.2 | 25.8 | 26.2 | 26.3 | 25.8 | 26.2 | 25.8 | 26.4 | 26.3 | 26.4 | 26.3 | 26.1 | 26.2 | 17.8 | 26.2 | 26.2 | 26.3 | 26.2 | 26.2 |
| 27 | 18.3 | 17.8 | 18.0 | 17.7 | 17.8 | 18.1 | 17.9 | 18.5 | 18.4 | 18.4 | 18.4 | 18.1 | 18.3 | 26.5 | 18.2 | 18.1 | 18.1 | 18.2 | 18.0 |
| 28 | 32.2 | 31.8 | 31.3 | 32.5 | 31.8 | 32.6 | 28.1 | 28.6 | 29.7 | 28.7 | 28.5 | 28.4 | 28.5 | 176.8 | 28.5 | 28.5 | 28.6 | 32.4 | 32.4 |
| 29 | 16.8 | 16.4 | 18.2 | 18.1 | 16.4 | 18.0 | 16.6 | 17.1 | 17.2 | 17.2 | 17.0 | 16.4 | 17.1 | 23.5 | 17.0 | 17.2 | 16.3 | 16.9 | 16.9 |
| 30 | 17.6 | 17.2 | 18.2 | 17.3 | 17.2 | 17.3 | 17.4 | 18.0 | 17.9 | 18.0 | 17.9 | 17.8 | 17.8 | 33.5 | 17.8 | 17.8 | 17.7 | 17.8 | 18.2 |
| | 6-Glc | 6-Glc | 6-Glc | 6-Glc | 6-Glc | 6-Glc | 3-Glc | 3-Glc | 20-Glc | 20-Glc |
| 1' | 106.4 | 106.0 | 106.3 | 104.4 | 106.1 | 102.2 | 105.3 | 105.7 | 105.7 | 105.7 | 105.4 | 105.3 | 105.3 | 105.2 | 105.4 | 107.4 | 107.4 | 98.5 | 98.7 |
| 2' | 75.9 | 75.5 | 75.6 | 80.5 | 75.5 | 79.9 | 83.4 | 84.0 | 84.1 | 84.0 | 84.9 | 84.6 | 84.9 | 82.9 | 83.8 | 76.2 | 76.2 | 75.3 | 75.5 |
| 3' | 80.1 | 79.7 | 79.7 | 80.5 | 79.8 | 78.9 | 77.2 | 78.4 | 78.5 | 78.5 | 78.4 | 79.7 | 78.4 | 78.2 | 78.6 | 78.8 | 79.2 | 79.7 | 78.9 |
| 4' | 72.2 | 71.9 | 71.9 | 72.2 | 71.3 | 73.0 | 71.7 | 72.1 | 72.7 | 72.2 | 71.8 | 71.7 | 72.5 | 71.9 | 72.0 | 72.1 | 72.3 | 72.5 | 72.1 |
| 5' | 78.6 | 78.2 | 75.8 | 78.6 | 78.0 | 78.8 | 78.2 | 78.7 | 79.8 | 78.5 | 78.6 | 78.8 | 79.0 | 78.3 | 78.4 | 78.2 | 78.8 | 77.2 | 78.7 |
| 6' | 63.5 | 63.1 | 65.7 | 63.4 | 62.7 | 63.5 | 62.9 | 63.4 | 63.4 | 63.4 | 63.3 | 63.1 | 63.3 | — | 63.2 | 63.3 | 63.5 | 69.6 | 63.3 |
| | 20-Glc | 20-Glc | 20-Glc | 2'-Glc | 3'-Glc | 2'-Rha | 2'-Glc | 20-Glc | | 6'-Ara (p) | |
| 1'' | 98.5 | 98.4 | 98.7 | 104.4 | 102.6 | 102.4 | 106.1 | 106.5 | 106.7 | 106.7 | 106.7 | 106.5 | 106.7 | 106.4 | 106.3 | 98.7 | | 105.0 | |
| 2'' | 75.37 | 74.9 | 75.8 | 76.6 | 74.7 | 72.8 | 76.5 | 77.7 | 77.8 | 77.5 | 77.2 | 75.5 | 77.2 | 77.5 | 77.4 | 75.5 | | 72.3 | |

续表 2

| 碳位 | 2 | 3 | 4 | 5 | 6 | 7 | 8 | 9 | 10 | 11 | 12 | 13 | 14 | 15 | 16 | 17 | 18 | 19 | 20 |
|-------------------|-------------|---------|-------|--------|--------|------|--------------|----------|--------------|--------------|----------|--------|--------------|--------|--------|------|----|------|----|
| 3'' | 79.7 | 79.0 | 79.6 | 79.2 | 76.0 | 72.7 | 79.3 | 78.8 | 79.8 | 78.8 | 78.8 | 78.7 | 79.7 | 78.4 | 79.5 | 79.2 | | 74.5 | |
| 4'' | 72.2 | 81.6 | 72.1 | 72.9 | 72.1 | 74.6 | 71.6 | 72.2 | 72.2 | 72.2 | 72.0 | 71.3 | 71.4 | 71.9 | 72.0 | 72.3 | | 68.9 | |
| 5'' | 77.1 | 77.0 | 79.1 | 78.4 | 75.1 | 69.8 | 78.0 | 78.8 | 78.7 | 78.5 | 75.9 | 77.1 | 75.8 | 78.6 | 78.3 | 78.7 | | 66.0 | |
| 6'' | 69.6 | 62.5 | | 63.9 | 62.9 | 19.2 | 62.6 | 63.2 | 63.2 | 63.4 | 65.9 | 63.3 | 65.8 | 63.1 | 63.2 | 63.5 | | | |
| | 6''-Ara (p) | 4''-Glc | | 20-Glc | 20-Glc | | 20-Glc | 20-Glc | 20-Glc | 20-Glc | 20-Glc | 20-Glc | 20-Glc | 20-Glc | 20-Glc | | | | |
| 1''' | 105.0 | 103.4 | | 98.8 | 98.6 | | 98.1 | 98.6 | 98.7 | 98.6 | 98.5 | 98.7 | 98.5 | 96.0 | 98.6 | | | | |
| 2''' | 72.5 | 74.8 | | 75.7 | 75.5 | | 74.9 | 75.4 | 75.6 | 75.4 | 75.3 | 75.5 | 75.5 | 74.4 | 75.4 | | | | |
| 3''' | 74.5 | 75.9 | | 79.9 | 79.8 | | 78.3 | 78.8 | 78.7 | 79.9 | 79.0 | 78.5 | 78.6 | 79.1 | 78.6 | | | | |
| 4''' | 69.0 | 72.2 | | 72.2 | 72.3 | | 70.2 | 72.2 | 72.2 | 72.2 | 72.1 | 72.0 | 71.8 | 71.4 | 72.0 | | | | |
| 5''' | 66.0 | 75.7 | | 78.8 | 78.7 | | 71.9 | 77.7 | 77.1 | 77.8 | 77.5 | 78.2 | 77.0 | 79.6 | 78.6 | | | | |
| 6''' | | 63.1 | | 63.5 | 63.3 | | 68.2 | 70.4 | 69.1 | 70.4 | 70.6 | 65.6 | 68.9 | 62.5 | 63.1 | | | | |
| | | | | | | | 6'''-Ara (f) | 6'''-Glc | 6'''-Ara (f) | 6'''-Ara (p) | 6'''-Glc | | 6'''-Ara (f) | | | | | | |
| 1'''' | | | | | | | 108.1 | 106.0 | 110.7 | 105.7 | 105.8 | | 110.6 | | | | | | |
| 2'''' | | | | | | | 90.6 | 75.6 | 83.9 | 73.5 | 75.7 | | 83.8 | | | | | | |
| 3'''' | | | | | | | 78.5 | 78.8 | 79.4 | 74.5 | 78.9 | | 79.3 | | | | | | |
| 4'''' | | | | | | | 85.6 | 72.2 | 86.6 | 78.7 | 72.1 | | 86.4 | | | | | | |
| 5'''' | | | | | | | 62.7 | 80.0 | 63.2 | 66.3 | 79.7 | | 63.1 | | | | | | |
| 6'''' | | | | | | | | 63.4 | | | 63.3 | | | | | | | | |
| | | | | | | | 2''''-Xyl | | | 4''''-Xyl | | | | | | | | | |
| 1''''' | | | | | | | 104.5 | | | 107.6 | | | | | | | | | |
| 2''''' | | | | | | | 75.0 | | | 76.0 | | | | | | | | | |
| 3''''' | | | | | | | 78.4 | | | 78.5 | | | | | | | | | |
| 4''''' | | | | | | | 71.1 | | | 71.6 | | | | | | | | | |
| 5''''' | | | | | | | 67.3 | | | 67.9 | | | | | | | | | |
| COCH ₃ | | | 171.4 | | | | | | | | | | | | | | | | |
| COCH ₃ | | | 21.4 | | | | | | | | | | | | | | | | |
| O-CO | | | | | | | | | | | 168.7 | 169.3 | 168.7 | | | | | | |
| CH ₂ | | | | | | | | | | | 43.2 | 43.8 | 43.1 | | | | | | |
| COOH | | | | | | | | | | | 170.2 | — | 170.1 | | | | | | |

一致^[8], 故鉴定化合物 **4** 为三七皂苷 Rt。

化合物 **5**: 白色粉末; ESI-MS 负离子模式下加合甲酸的离子峰 m/z 1 007 $[M+HCOO]^-$, 根据质荷比推断分子式为 $C_{48}H_{82}O_{19}$ 。二级碎片包括 m/z 961、799、637、475, 根据碎片判断化合物 **5** 为含有 3 个葡萄糖基的人参三醇苷。¹H-NMR (600 MHz, $py-d_5$) 显示 3 个 β 型糖端基质子信号为 δ_H 5.95 (1H, d, $J = 7.7$ Hz, H-1'), 5.19 (1H, d, $J = 7.6$ Hz, H-1), 4.92 (1H, d, $J = 7.5$ Hz, H-1''), 2 个连氧氢、1 个烯氢以及 8 个甲基信号为 5.26 (1H, t, $J = 6.7$ Hz, H-24), 4.12 (3H, m, H-12 α), 3.45 (3H, dd, $J = 4.4$, 11.9 Hz, H-3 α), 2.10 (3H, s, H-28), 1.62 (3H, s, H-26,

H-27, H-29), 1.50 (3H, s, H-21), 1.14 (3H, s, H-18), 0.97 (3H, s, H-19), 0.81 (3H, s, H-30); ¹³C-NMR (150 MHz, $py-d_5$) 数据低场区显示 1 组双键信号 δ_C 125.7 (C-24), 130.6 (C-25), 3 个糖端基信号 δ_C 103.5 (C-1''), 103.6 (C-1'), 97.9 (C-1'''), 其他 ¹³C-NMR 数据见表 2。以上数据与文献报道一致^[9], 故鉴定化合物 **5** 为 20-O-葡萄糖基人参皂苷 Rf。

化合物 **6**: 白色粉末; ESI-MS 负离子模式下分子离子峰 m/z 961 $[M-H]^-$, 二级碎片包括 m/z 799、637、475、391, 提示化合物 **6** 为含 3 个葡萄糖基的人参三醇苷。¹H-NMR 谱 (600 MHz, $py-d_5$) 包括 δ_H 5.91 (1H, d, $J = 3.3$ Hz, H-1''), 5.25 (1H, t, $J = 6.3$

Hz, H-24), 5.18 (1H, d, $J = 7.9$ Hz, H-1'''), 4.95 (1H, d, $J = 7.8$ Hz, H-1'), 4.13 (1H, m, H-12 α), 3.48 (1H, dd, $J = 4.7, 11.9$ Hz, H-3 α), 1.98 (3H, s, H-28), 1.59 (3H, s, H-21), 1.60 (3H, s, H-26, 27), 1.52 (3H, s, H-29), 1.38 (3H, d, $J = 10.4$ Hz, H-5 α), 1.15 (3H, s, H-18), 1.02 (3H, s, H-19), 0.80 (3H, s, H-30), 其他 $^{13}\text{C-NMR}$ (150 MHz, py- d_5) 数据见表 2。以上数据与文献报道一致^[7], 故鉴定化合物 **6** 为人参皂苷 Re₂。

化合物 **7**: 白色粉末; ESI-MS 负离子模式下分子离子峰 m/z 783 $[\text{M} - \text{H}]^-$, 推测分子式为 C₄₂H₇₂O₁₃。产生的碎片包括 m/z 637、475、391。根据碎片推断化合物 **7** 是含有 1 个鼠李糖基、1 个葡萄糖基的原人参三醇苷。 $^1\text{H-NMR}$ (600 MHz, py- d_5) 谱中显示 2 个糖端基质子 δ_{H} 6.44 (brs, $J = 6.5$ Hz, H-1'), 5.29 (d, $J = 7.2$ Hz, H-1''); 另外还观察到原人参三醇苷元的 24-烯氢信号 δ_{H} 5.35 (t, $J = 7.1$ Hz), 8 个甲基信号 δ_{H} 0.96, 0.97, 1.21, 1.37, 1.40, 1.64, 1.69, 2.14; $^{13}\text{C-NMR}$ (150 MHz, py- d_5) 谱显示皂苷元的双键信号 δ_{C} 126.7 (C-24), 131.2 (C-25), 2 个糖端基信号 δ_{C} 102.2 (C-1'), 102.4 (C-1''), δ_{C} 102.4, 72.8, 72.7, 74.6, 69.8, 19.2 为 1 组鼠李糖基的碳信号, 其他 $^{13}\text{C-NMR}$ 数据见表 2。以上波谱数据与文献报道一致^[10], 故鉴定化合物 **7** 为人参皂苷 Rg₂。

化合物 **8**: 白色粉末; ESI-MS 负离子模式分子离子峰 m/z 1 209 $[\text{M} - \text{H}]^-$, 推测分子式为 C₅₈H₉₈O₂₆, 裂解生成碎片 m/z 1 077、945、783、621、459, 表明其为连有 3 个葡萄糖基、2 个五碳糖基的原人参二醇苷。 $^1\text{H-NMR}$ 谱 (500 MHz, py- d_5) 中 δ_{H} 4.93 (1H, d, $J = 7.8$ Hz, H-1'), 5.13 (1H, d, $J = 7.6$ Hz, H-1'''), 5.16 (1H, d, $J = 7.6$ Hz, H-1'''), 5.39 (1H, d, $J = 7.5$ Hz, H-1'') 为 4 个 β -型糖端基质子, 5.58 (1H, brs, H-1''') 为 1 个五碳糖端基信号。其 $^{13}\text{C-NMR}$ (125 MHz, py- d_5) 数据见表 2。以上波谱数据与文献报道一致^[11], 故鉴定化合物 **8** 为人参皂苷 Ra₂。

化合物 **9**: 白色粉末; ESI-MS 负离子模式分子离子峰 m/z 1 107 $[\text{M} - \text{H}]^-$, 推测其分子式为 C₅₄H₉₂O₂₃, 其产生的二级碎片包括 m/z 945、783、621、459、375。根据碎片信息可以推断出该化合物结构为 PPD 型的母核连接 4 个葡萄糖基的人参二醇苷。 $^1\text{H-NMR}$ (600 MHz, py- d_5) 的糖端基质子信号 δ_{H} 5.39 (1H, d, $J = 7.4$ Hz, H-1''), 5.15 (1H, d, $J = 7.8$ Hz, H-1'''), 5.11 (1H, d, $J = 7.7$ Hz, H-1'''), 4.93 (1H,

d, $J = 7.4$ Hz, H-1') 提示有 4 个 β 型的葡萄糖基; 其它氢谱数据包括 δ_{H} 4.36 (1H, m, H-12 α), 3.27 (1H, dd, $J = 11.6, 4.2$ Hz, H-3 α), 8 个甲基信号为 δ_{H} 1.70 (3H, s, H-26, 27), 1.60 (3H, s, H-21), 1.30 (3H, s, H-28), 1.11 (3H, s, H-29), 0.97 (3H, s, H-18, 30), 0.82 (3H, s, H-19), 0.66 (3H, brd, $J = 11.4$ Hz, H-5 α)。其他 $^{13}\text{C-NMR}$ (150 MHz) 数据见表 2。以上数据与文献报道一致^[12], 故鉴定化合物 **9** 为人参皂苷 Rb₁。

化合物 **10**: 白色粉末; ESI-MS 负离子模式加合离子峰为 m/z 1 123 $[\text{M} + \text{HCOO}]^-$, 推测其分子式为 C₅₃H₉₀O₂₂, 其裂解生成 m/z 945、915、783、621、459 的二级碎片, 提示该化合物为含有 3 个葡萄糖基, 1 个五碳糖基的原人参二醇苷。 $^1\text{H-NMR}$ (py- d_5 , 600 MHz) 谱中显示 3 个 β -型糖端基质子 δ_{H} 4.94 (d, $J = 7.8$ Hz, H-1'), 5.16 (d, $J = 7.6$ Hz, H-1'''), 5.39 (d, $J = 7.7$ Hz, H-1''), 及 1 个五碳糖端基信号 δ_{H} 5.68 (d, $J = 1.5$ Hz, H-1'''); δ_{H} 3.27 (dd, $J = 4.3, 11.7$ Hz, H-3), 4.32 (m, H-12), 5.30 (t, $J = 46.1$ Hz, H-24), δ_{H} 0.82, 0.95, 0.96, 1.11, 1.29, 1.62, 1.65, 1.67 为与原人参二醇皂苷元相一致的 2 个连氧氢、1 个烯氢以及 8 个甲基信号; $^{13}\text{C-NMR}$ (150 MHz) 谱显示低场区双键信号 δ_{C} 125.7 (C-24), 130.7 (C-25), 4 个糖端基信号 δ_{C} 109.8 (C-1'''), 105.8 (C-1''), 104.8 (C-1'), 97.8 (C-1'''), 其中 δ_{C} 109.8, 83.2, 78.9, 85.7, 62.6 为 1 组典型的呋喃型阿拉伯糖基信号。其它 $^{13}\text{C-NMR}$ 数据见表 2。以上波谱数据与文献报道一致^[12], 故鉴定化合物 **10** 为人参皂苷 Rc。

化合物 **11**: 白色粉末; ESI-MS 负离子模式显示加合离子峰 m/z 1 255 $[\text{M} + \text{HCOO}]^-$, 其裂解生成碎片离子 m/z 1 077、945、783、621、459 碎片, 以此推断化合物为连有 2 个五碳糖基和 3 个葡萄糖基的原人参二醇苷。 $^1\text{H-NMR}$ (600 MHz, py- d_5) 谱显示 5 个糖端基质子为 δ_{H} 5.39 (d, $J = 7.6$ Hz, H-1''), 5.31 (t, $J = 6.8$ Hz, H-24), 5.13 (d, $J = 7.6$ Hz, H-1'''), 4.89 (d, $J = 7.6$ Hz, H-1') 和 5.12 (d, $J = 7.7$ Hz, H-1'''); 8 个单峰甲基氢信号为 δ_{H} 1.66 (H-27), 1.65 (H-26), 1.62 (H-21), 1.29 (H-28), 1.12 (H-29), 0.98 (H-30), 0.96 (H-18) 和 0.82 (H-19); $^{13}\text{C-NMR}$ (150 MHz) 谱显示低场区 1 双键信号 δ_{C} 125.3 (C-24) 和 130.4 (C-25), 5 个糖端基信号 δ_{C} 106.3 (C-1'''), 105.5 (C-1''), 104.5 (C-1'), 104.5 (C-1''') 和 97.4 (C-1''')。其他 $^{13}\text{C-NMR}$ 数据见表 2。以上数据与文献报道一致^[11], 故鉴定化合物 **11** 为人参皂苷

Ra₁。

化合物 **12**: 白色粉末; ESI-MS 负离子模式下分子离子峰 m/z 1 193 $[M-H]^-$, 推测分子式为 $C_{57}H_{94}O_{26}$ 。进一步裂解得到碎片离子 m/z 1 149、1 107、945、783、637 和 459, 提示其可能为含有 4 个葡萄糖基的丙二酰原人参二醇型皂苷。¹H-NMR (600 MHz, py-*d*₅) 谱显示与人参皂苷 Rb₁ 一致的 24-烯氢信号 δ_H 5.33 (1H, 水峰掩盖裂分情况), 4 个葡萄糖端基质子 δ_H 4.92 (1H, d, $J = 7.8$ Hz, H-1'), 5.02 (1H, d, $J = 6.2$ Hz, H-1'''), 5.15 (1H, d, $J = 7.8$ Hz, H-1'''), 另外 1 个水峰信号被掩盖; 相对于人参皂苷 Rb₁, 化合物 **12** 的 ¹³C-NMR (150 MHz) 谱上新增了 3 个丙二酰基的碳信号: δ_C 168.7 (mal-C-1), 43.1 (mal-C-2) 和 170.0 (mal-C-3)。其他 ¹³C-NMR 数据见表 2。以上数据与文献报道基本一致^[13], 故鉴定化合物 **12** 为丙二酰人参皂苷 Rb₁。

化合物 **13**: 白色粉末; ESI-MS 负离子模式下分子离子峰 m/z 1 031 $[M-H]^-$, 推测分子式为 $C_{51}H_{84}O_{21}$, 其裂解得到次级碎片 m/z 945、927、783、621、459 和 375, 表明其为连有 2 个葡萄糖基以及 1 个丙二酰基的 PPD 型人参皂苷。¹H-NMR (500 MHz, py-*d*₅) 谱中显示 3 个糖端基质子 δ_H 4.92 (d, $J = 7.4$ Hz, H-1'), 5.21 (d, $J = 7.6$ Hz, H-1'''), 5.32 (d, $J = 7.8$ Hz, H-1'''), 提示 3 个糖苷键均为 β -型, 表征原人参二醇的 2 个连氧氢 δ_H 3.27 (t, $J = 4.1, 11.6$ Hz, H-3 α), 3.93 (m, H-12), 1 个烯氢 δ_H 5.24 (m, H-24), 8 个特征单峰甲基 δ_H 0.84, 0.94, 0.97, 1.17, 1.36, 1.59 (6H), 1.63。化合物 **13** 的 ¹³C-NMR (125 MHz) 谱上新增了 2 个丙二酰基的碳信号 δ_C 169.2 (mal-C-1), 43.8 (mal-C-2), δ_C 65.6 为被丙酰基取代的葡萄糖 6 位碳的信号, HSQC 谱中能够看到与 δ_H 5.04 相关, HMBC 谱中可以看到 δ_H 5.04 与 98.7 (C-1''') 相关, 由此可以推断出丙二酰基取代发生在 C-20 位葡萄糖的 6 位, 其他 ¹³C-NMR 数据见表 2。以上数据与文献报道一致^[14], 故鉴定化合物 **13** 为丙二酰人参茎叶皂苷 Rd₅。

化合物 **14**: 白色粉末; ESI-MS 负离子模式下分子离子峰为 m/z 1 163 $[M-H]^-$, 推测其分子式为 $C_{56}H_{92}O_{25}$, 其裂解生成 m/z 1 077、945、783、621、459 和 375 的二级碎片, 提示该化合物为含有 3 个葡萄糖基、1 个五碳糖基、1 个丙二酰基的原人参二醇苷。与人参皂苷 Rc 一致, 在 ¹H-NMR (600 MHz, py-*d*₅) 谱中显示 3 个 β -型糖端基质子 δ_H 4.92 (d, $J =$

7.6 Hz, H-1'), 5.15 (d, $J = 7.6$ Hz, H-1'''), 5.33 (d, $J = 7.8$ Hz, H-1'') 及 1 个五碳糖端基信号 5.67 (s, H-1''''')。 δ_H 3.27 (dd, $J = 4.2, 11.9$ Hz, H-3), 4.32 (m, H-12), 5.31 (m, H-24), δ_H 0.83, 0.94, 0.95, 1.19, 1.37, 1.62, 1.64, 1.66 为与原人参二醇皂苷元相一致的 2 个连氧氢、1 个烯氢以及 8 个甲基信号。¹³C-NMR (150 MHz, py-*d*₅) 谱显示比人参皂苷 Rc 新增了 3 个丙二酰基的碳信号, δ_C 168.7 (mal-C-1), 43.1 (mal-C-2), 170.1 (mal-C-3), 其他 ¹³C-NMR 数据见表 2。以上数据与文献报道一致^[13], 故鉴定化合物 **14** 为丙二酰人参皂苷 Rc。

化合物 **15**: 白色粉末; ESI-MS 负离子模式下分子离子峰 m/z 955 $[M-H]^-$, 推测分子式为 $C_{48}H_{76}O_{19}$ 。产生的二级碎片包括 m/z 793, 613, 569, 455。根据碎片推断结构可能的结构为含有 2 个葡萄糖基、1 个葡萄糖醛酸基的齐墩果酸型人参皂苷。在 ¹H-NMR (500 MHz, py-*d*₅) 谱中显示 3 个 β -型糖端基质子 δ_H 6.32 (1H, d, $J = 8.0$ Hz, H-1'''), 5.40 (d, $J = 8.0$ Hz, H-1''), 4.86 (d, $J = 6.5$ Hz, H-1'); δ_H 5.33 (brs, H-12), 1.26 (s, H-27), 1.25 (s, H-23), 1.09 (s, H-26), 1.08 (s, H-24), 0.92 (s, H-29), 0.89 (s, H-30), 0.83 (s, H-25) 为与齐墩果酸母核相对应的 1 个烯氢以及 8 个甲基信号。其 ¹³C-NMR (125 MHz) 数据见表 2。以上数据与文献报道一致^[15], 故鉴定化合物 **15** 为人参皂苷 Ro。

化合物 **16**: 白色粉末; ESI-MS 负离子模式分子离子峰 m/z 945 $[M-H]^-$, 推测分子式为 $C_{48}H_{82}O_{18}$, 母离子裂解产生的二级碎片包括 m/z 783、621、459。根据碎片推测化合物是含有 3 个葡萄糖基的原人参二醇苷。¹H-NMR (600 MHz, py-*d*₅) 谱中显示 3 个糖端基质子 δ_H 4.94 (d, $J = 7.7$ Hz, H-1'), 5.22 (d, $J = 7.6$ Hz, H-1'''), 5.39 (d, $J = 7.5$ Hz, H-1''), 提示 3 个糖苷键均为 β -型; 表征原人参二醇的 2 个连氧氢 δ_H 3.24 (t, $J = 4.3, 11.3$ Hz, H-3 α) 和 3.95 (m, H-12), 1 个烯氢 δ_H 5.24 (m, H-24), 8 个特征单峰甲基 δ_H 0.82, 0.96, 0.97, 1.12, 1.30, 1.59 (6H), 1.64; 其 ¹³C-NMR (150 MHz) 数据见表 2。以上数据与文献报道一致^[12], 故鉴定化合物 **16** 为人参皂苷 Rd。

化合物 **17**: 白色粉末; ESI-MS 负离子模式分子离子峰 m/z 783 $[M-H]^-$, 推测分子式为 $C_{42}H_{72}O_{13}$ 。产生的碎片包括 m/z 621、459、375。根据碎片推断化合物 **17** 为含有 2 个葡萄糖基的原

人参三醇苷。在 $^1\text{H-NMR}$ (500 MHz, py-d_5) 谱中显示 2 个 β -型糖端基质子 δ_{H} 4.96 (d, $J = 8.0$ Hz, H-1') 和 δ_{H} 5.22 (d, $J = 8.0$ Hz, H-1''); δ_{H} 5.24 (m, H-24), 0.82, 0.95, 0.98, 1.01, 1.32, 1.59 (6H), 1.64 为与原人参二醇皂苷相对应的 1 个烯氢以及 8 个甲基信号; 其 $^{13}\text{C-NMR}$ (125 MHz) 数据见表 2。以上数据与文献报道一致^[16], 故鉴定化合物 **17** 为人参皂苷 F_2 。

化合物 **18**: 白色粉末; ESI-MS 负离子模式下加合离子峰为 m/z 667 $[\text{M} + \text{HCOO}]^-$, 推测其分子式为 $\text{C}_{36}\text{H}_{62}\text{O}_8$, 其裂解生成 m/z 621、459 和 375 的二级碎片, 提示该化合物为含有 1 个葡萄糖基的原人参二醇苷。在 $^1\text{H-NMR}$ (600 MHz, py-d_5) 谱中显示 1 个 β -型糖端基质子 δ_{H} 4.96 (d, $J = 7.7$ Hz, H-1'), 在 $^{13}\text{C-NMR}$ (150 MHz) 谱中于 δ_{C} 107.40 处观察到 1 个葡萄糖端基碳信号, 在 δ_{C} 63.4~79.2 处观察到葡萄糖基的 5 个碳信号, 20-OH 苷化后 C-20 向低场位移约 δ 10 至 δ 83.0, 22 位的化学位移值为 δ_{C} 43.7, 证明该化合物的 20 位为 *R* 构型。其它 $^{13}\text{C-NMR}$ 数据见表 2。以上数据与文献报道一致^[17], 故鉴定化合物 **18** 为 20(*R*)-人参皂苷 Rh_2 。

化合物 **19**: 白色粉末; ESI-MS 负离子模式下分子离子峰 m/z 769 $[\text{M} - \text{H}]^-$, 推测分子式为 $\text{C}_{41}\text{H}_{70}\text{O}_{13}$ 。母离子产生的碎片包括 m/z 475 和 391, 提示化合物 **19** 为含有 1 个葡萄糖基和 1 个五碳糖基的原人参三醇苷。 $^1\text{H-NMR}$ (600 MHz, py-d_5) 谱中显示 2 个 β -型糖端基质子 δ_{H} 5.01 (d, $J = 6.1$ Hz, H-1''), 5.94 (d, $J = 7.9$ Hz, H-1'); 5.34 (t, $J = 7.0$ Hz, H-24), δ_{H} 0.97, 1.02, 1.10, 1.46, 1.63, 1.64, 1.67, 2.00 为与原人参三醇皂苷相对应的 1 个烯氢以及 8 个甲基信号; 在 $^{13}\text{C-NMR}$ (150 MHz) 谱中于 δ_{C} 105.1、98.5 处观察到 1 个五碳糖基和 1 个葡萄糖基的端基碳信号, δ_{C} 98.5 表明在 20 位有糖基的取代, 在 δ_{C} 62.1 和 66.0 的碳信号表明糖基取代为 6' 取代。其它 $^{13}\text{C-NMR}$ 数据见表 2。以上数据与文献报道基本一致^[18], 故鉴定化合物 **19** 为人参皂苷 F_3 。

化合物 **20**: 白色粉末; ESI-MS 负离子模式下分子离子峰 m/z 637 $[\text{M} - \text{H}]^-$, 推测分子式为 $\text{C}_{36}\text{H}_{62}\text{O}_9$ 。产生的碎片包括 m/z 475 和 391。根据碎片推断化合物 **20** 为含有 1 个葡萄糖基的原人参三醇苷。在 $^1\text{H-NMR}$ (500 MHz, py-d_5) 谱中显示 1 个 β -型糖端基质子 δ_{H} 5.21 (1H, d, $J = 7.5$ Hz, H-1'); δ_{H} 5.25 (1H, m, H-24), 0.99 (3H, s, H-19), 1.03 (3H, s, H-18), 1.10 (3H, s, H-30), 1.47 (3H, s, H-29), 1.60

(3H, s, H-28), 1.60 (3H, s, H-21), 1.64 (3H, s, H-26), 2.01 (3H, s, H-27) 为与原人参二醇皂苷相对应的 1 个烯氢以及 8 个甲基信号; 其 $^{13}\text{C-NMR}$ (125 MHz) 数据见表 2。以上数据与文献报道基本一致^[19], 故鉴定化合物 **20** 为人参皂苷 F_1 。

参考文献

- [1] 刘校妃, 张志强, 邹志琴, 等. 白参及红参中五种人参皂苷含量的 HPLC-MS/MS 法快速测定 [J]. 时珍国医国药, 2015, 26(8): 1801-1804.
- [2] Yang W Z, Hu Y, Wu W Y, *et al.* Saponins in the genus *Panax* L. (Araliaceae): A systematic review of their chemical diversity [J]. *Phytochemistry*, 2014, 106: 7-24.
- [3] Dou D Q, Chen Y J, Liang L H, *et al.* Six new dammarane-type triterpene saponins from the leaves of *Panax ginseng* [J]. *Chem Pharm Bull*, 2001, 49(4): 442-446.
- [4] 牛泱平, 高瑞兰, Helen T, 等. 人参皂甙诱导 HL-60 细胞凋亡的研究 [J]. 中国中西医结合杂志, 2002, 22(6): 450-452.
- [5] Sanada S, Kondo N, Shoji J, *et al.* Studies on the saponins of *ginseng*. I. Structure of ginsenoside-Ro, Rb₁, Rb₂, Rc, Rd [J]. *Chem Pharm Bull*, 1974, 22(2): 421-428.
- [6] Wang X Y, Wang D, Maa X X, *et al.* Two new dammarane-type bisdesmosides from the fruit pedicels of *Panax notoginseng* [J]. *Helv Chim Acta*, 2008, 91(6): 60-66.
- [7] Zhu G Y, Li Y W, Hau D K, *et al.* Protopanaxatriol-type ginsenosides from the root of *Panax ginseng* [J]. *J Agric Food Chem*, 2011, 59(1): 200-205.
- [8] Lee D G, Lee J M, Yang S H, *et al.* Identification of dammarane-type triterpenoid saponins from the root of *Panax ginseng* [J]. *Nat Prod Sci*, 2015, 21(2): 111-121.
- [9] Sanada S, Shoji J. Studies on the saponins of *ginseng*. III. Structures of ginsenoside-Rb₃ and 20-glucoginsenoside-Rf [J]. *Chem Pharm Bull*, 1978, 26(6): 1694-1697.
- [10] 杨秀伟. 20(*R*)和 20(*S*)-人参皂甙-Rg₂ 碳氢 NMR 信号全指定 [J]. 波谱学杂志, 2000, 17(1): 8-14.
- [11] Besso H, Kasai R, Saruwatari Y, *et al.* Ginsenoside-Ra₁ and ginsenoside Ra₂, new dammarane-saponins of *ginseng* roots [J]. *Chem Pharm Bull*, 1982, 30(7): 2380-2385.
- [12] Cho J, Lee M, Lee J, *et al.* Physicochemical characterization and NMR assignments of ginsenosides Rb₁, Rb₂, Rc, and Rd isolated from *Panax ginseng* [J]. *J Ginseng Res*, 2010, 34(2): 113-121.
- [13] Kitagawa I, Taniyama T, Hayashi T, *et al.* Malonyl ginsenosides Rb₁, Rb₂, and Rd, four new malonylated

- dammarane-type triterpene oligoglycosides from *ginseng* radix [J]. *Chem Pharm Bull*, 1983, 31(9): 3353-3356.
- [14] Qiu S, Yang W Z, Yao C L, *et al.* Malonylginsenosides with potential antidiabetic activities from the flower buds of *Panax ginseng* [J]. *J Nat Prod*, 2017, 80(4): 899-908.
- [15] 李珂珂, 杨秀伟. 人参茎叶中 1 个新三萜类天然产物 [J]. *中草药*, 2015, 46(2): 169-173.
- [16] Cheng L Q, Kim M K, Lee J W. Conversion of major ginsenoside Rb₁ to ginsenoside F₂ by *Caulobacter leidyia* [J]. *Biotechnol Lett*, 2006, 28(14): 1121-1127.
- [17] 窦德强, 文 晔, 裴玉萍, 等. 人参叶中微量成分的研究 [J]. *中国中药杂志*, 1997, 22(1): 36-38.
- [18] Li K K, Xu F, Gong X J. Isolation, purification and quantification of ginsenoside F₅ and F₃ isomeric compounds from crude extracts of flower buds of *Panax ginseng* [J]. *Molecules*, 2016, doi: 10.3390/molecules 21030315.
- [19] Ko S R, Choi K J, Suzvki K, *et al.* Enzymatic preparation of ginsenosides Rg₂, Rh₁, and F₁ [J]. *Chem Pharm Bull*, 2003, 51(4): 404-408.